



دانشگاه کردستان

دانشکده علوم پایه

گروه شیمی

عنوان:

بررسی نظری برهم‌کنش فلزهای واسطه سری اول با سطح خارجی فولرن C₆₀

پژوهشگر:

رضا کریمی

استاد راهنما:

دکتر خالد عزیزی

پایان نامه کارشناسی ارشد رشته شیمی گرایش شیمی فیزیک

کلیه حقوق مادی و معنوی مترتب بر نتایج مطالعات،
ابتكارات و نوآوری های ناشی از تحقیق موضوع
این پایان‌نامه (رساله) متعلق به دانشگاه کرده‌ستان است.

تقدیم به:

روح بزرگ مادرم

همسر فدآکارم

خانواده عزیزم

و

استاد گرامی ام

تقدیر و تشکر

الهی، با زبانی قاصر ثنا گوی الطاف بی کرانت هستم که تقدیر زندگی این بندۀ خاکی را به گونه ای نگاشتی که سالی چند از عمر و جوانی خود را در کسب دانش و معرفت سپری نمایم بدین وسیله، مراتب تقدیر و تشکر خود را از خدمات استاد ارجمند جناب آقای دکتر خالد عزیزی که براهمایی ها و مساعدت های بی شائبه شان مرا در به انجام رساندن این پایان نامه یاری فرموده و ادائی وظیفه معلمی را در حق اینجانب به کمال رسانند ابراز می دارم. از داوران محترم، جناب آقای دکتر رحمت صادقی و جناب آقای دکتر مهدی ایرانی که وقت خود را جهت بررسی این رساله اختصاص دادند بسیار سپاسگذارم. در محضر ریاست محترم دانشکده جناب آقای دکتر خوش نوازی و مدیر محترم گروه شیمی جناب آقای دکتر قادرمزری که مساعدت و یاری شان در انجام و اتمام این کار تحقیقی بسیار راه گشا بوده تشکر و سپاس ویژه دارم . از سرکار خانم علی پور بخا طر مساعدت و صبر و حوصله ای که در انجام امور تحصیلی دانشجویان کارشناسی ارشد و بويژه اينجانب تقبل می نمایند بسیار سپاسگزارم

چکیده

هدف از انجام این پژوهش بررسی برهم کنش فلزهای واسطه‌ی سری اول با سطح خارجی فولرن C₆₀ است. با این کار نحوه‌ی برهم کنش این فلزها با فولرن شامل موقعیت قرار گیری آن‌ها در سطح فولرن، مقادیر انرژی جذب و اطلاعات ساختاری و الکترونی محاسبه می‌شود. داده‌های حاصل برای استخراج قوانین حاکم بر مکانیزم جذب فلزهای واسطه بر سطح C₆₀ مورد استفاده قرار می‌گیرد. ابتدا با استفاده از روش روبش پتانسیل برهم کن بین ذره‌ای، جذب فلزات واسطه‌ی سری اول بر سطح خارجی فولرن C₆₀ مورد بررسی قرار گرفته است. هدف از این کار دست‌یابی به منفی‌ترین مقدار انرژی پتانسیل برای هر یک آرایش‌های پنج‌گانه برای هر یک از اتم‌های فلزی می‌باشد. با انجام این روش، محل کمینه‌ی پتانسیل برهم کنش، شامل مقدار انرژی پتانسیل برهم کنش و فاصله تعادلی برهم کنش، برای هر یک از موقعیت‌های پنج‌گانه‌ی مختلف موجود در سطح خارجی C₆₀ مشخص می‌گردد. نتایج بیانگر این واقعیت است که پایدارترین برهمکنش‌ها در مورد اتم‌های فلزی Cr و Ti اتفاق می‌افتد که دارای منفی‌ترین مقادیر برای انرژی جذب در سطح نانوذره‌ی فولرن هستند.

کلمات کلیدی: فولرن C₆₀، فلزهای واسطه‌ی سری اول، روش تابعی چگالی الکترون

فهرست مطالب

عنوان

صفحه

۱	فصل اول (مقدمه و پیشینه تحقیق)
۱	۱ - فولون و خواص آن
۲	۱-۱-۱-دسته بندی اصلی فولرن‌ها
۳	۱-۱-۲-۱-۱-۱-۶۰ فولرن
۵	۱-۱-۳-۱-۱-۳- طیف‌های جرمی و طیف ^{13}C NMR نانوذره‌ی فولرن
۶	۱-۱-۴-۱-۱-۴- اوریتال‌های مولکولی در فولرن
۷	۱-۱-۵-۱-۱-۵- آروماتیک شدن فولرن
۸	۱-۱-۶-۱-۱-۶- حلالت فولرن
۹	۱-۱-۷-۱-۱-۷- نقش فولرن در جذب رادیکال‌ها
۹	۱-۱-۸-۱-۱-۸- واکنش پذیری فولرن‌ها
۱۱	۱-۱-۹-۱-۱-۹- واکنش‌های افزایشی حلقه‌ای
۱۲	۱-۱-۱۰-۱-۱-۱۰- کاربردهای فولرن‌ها
۱۲	۱-۱-۱۱-۱-۱-۱۱- خواص دارویی و سمیت فولرن‌ها
۱۴	۱-۲-۱-۱-۱۴- متالوفولرن‌ها
۱۴	۱-۲-۱-۱-۱۴- نتایج حاصل از تحقیقات نظری بر متالوفولرن‌ها
۱۵	۱-۲-۲-۱-۱۵- خواص و ویژگی‌های متالوفولرن‌ها
۱۷	۱-۲-۳-۱-۱۷- واکنش‌پذیری متالوفولرن‌های اندوهدرال
۱۷	۱-۳-۱-۱-۱۷- کاربرد فلزهای واسطه در علوم دارویی
۱۸	۱-۴-۱-۱-۱۸- قابلیت ذخیره هیدروژن در متالوفولرن‌های برون قفسی
۱۹	۱-۴-۱-۱-۱۹- خوش سازی اتم‌های فلزی در سطح فولرن و تاثیر آن بر جذب هیدروژن

فصل دوم: روش‌های محاسباتی در مکانیک کوانتمی

۲۰	۲-۱-۲- لزوم استفاده از شیمی محاسباتی و مدل سازی
۲۱	۲-۲-۲- انتخاب روش
۲۲	۲-۳-۲- دینامیک مولکولی

۲۳	نظریه ساختار الکترونی.....	-۴-۲
۲۳.....	روش های نیمه تجربی.....	-۵-۲
۲۴	روش های آغازین.....	-۶-۲
۲۴.....	روش نظریه‌ی تابعی چگالی الکترونی(DFT).....	-۷-۲
۲۵	مجموعه پایه.....	-۸-۲
۲۶.....	-۱-۸-۲ مجموعه پایه‌ی حداقل.....	
۲۶	-۲-۸-۲ مجموعه پایه‌ی ظرفیت شکافته.....	
۲۶	-۳-۸-۲ مجموعه پایه‌ی نفوذی.....	
۲۷	-۴-۸-۲ مجموعه پایه‌ی قطبیش پذیر.....	
۲۷	-۵-۸-۲ مجموعه پایه‌ی LanL2DZ.....	
۲۷	-۹-۲ دستور Extrabasis.....	
۲۸	-۱۰-۲ محاسبات انرژی و اوربیتال طبیعی پیوندی.....	
۳۰	-۱۱-۲ نرم افزارها.....	
۳۰	-۱۱-۲ نرم افزار نانوتیوب مدلر.....	
۳۰	-۱۱-۲ نرم افزار گوس ویو.....	
۳۰	-۱۱-۲ نرم افزار گوسین.....	

فصل سوم (بحث و نتایج)

۳۶	۱-۳ نتایج حاصل از کمینه‌ی نمودارهای انرژی پتانسیل برهم‌کش فلز- C_{60}
۴۲.....	۲-۳ بررسی خواص جذبی سیستم‌های فلز- C_{60} در پایدارترین موقعیت جذب.....
۴۲.....	۲-۳-۱ بررسی مقادیر انرژی جذب برای فلزهای واسطه بر سطح C_{60}
۴۳.....	۲-۳-۲ بررسی فاصله‌ی تعادلی برهم‌کنش، R_{min} ، برای سیستمهای C_{60} -TM.....
۴۴.....	۲-۳-۳-۲ هیبریداسیون اتم‌های فلزی واسطه جذب شده بر سطح C_{60}
۴۵.....	۲-۳-۴-۲-۳ شکاف انرژی
۴۶	۲-۳-۵-۲-۳ پایداری ساختارهای بدست آمده.....
۴۶	۳-۳ درجه‌ی اشغال اوربیتال‌های اتمی ترازهای سوم و چهارم اتم‌های فلزی.....
۴۸	۴-۳ اطلاعات پیوندهای تشکیل شده بین TM و C_{60}

۳-۵- بررسی مقادیر بار الکترواستاتیکی اتم های فلزی واسطه‌ی جذب شده بر سطح C_{60}	۵۰
۳-۶- بررسی نقش اوربیتال های دهنده- گیرنده الکترون در برهم کنش فلز- C_{60}	۵۱
۳-۶-۱- نقش اوربیتال های دهنده و گیرنده الکترون در برهم کنش $Sc-C_{60}$	۵۱
۳-۶-۲- نقش اوربیتال های دهنده و گیرنده الکترون در برهم کنش $Ti - C_{60}$	۵۴
۳-۶-۳- نقش اوربیتال های دهنده و گیرنده الکترون در برهم کنش $Cr - C_{60}$	۵۷
۳-۶-۴- نقش اوربیتال های دهنده و گیرنده الکترون در برهم کنش $Fe - C_{60}$	۵۹
۳-۶-۵- نقش اوربیتال های دهنده و گیرنده الکترون در برهم کنش $Ni - C_{60}$	۶۱
۳-۶-۶- نقش اوربیتال های دهنده و گیرنده الکترون در برهم کنش $Cu - C_{60}$	۶۲
۳-۷- نتایج تحقیق	۶۵
منابع	۶۷

فهرست جداول

عنوان	صفحه
جدول ۱-۱ حلالیت فولرن در حلال‌های مختلف	۸
جدول ۱-۳ مقادیر کمینه‌ی انرژی پتانسیل برهم‌کنش بین فلز واسطه و C_{60} تحت آرایش‌های برهم‌کنشی متفاوت	۳۷
جدول ۲-۳ خواص جذبی و الکترونی جذب فلزهای واسطه ردیف اول جدول تناوبی بر سطح خارجی C_{60}	۴۲
جدول ۳-۱ درجه‌ی اشغال اوریتال‌های اتمی تراز سوم و چهارم و انتقال الکترون آنها برای اتم‌های فلزی در حالت انجام برهم‌کنش با C_{60}	۴۶
جدول ۳-۴ نتایج محاسبات NBO برای وضعیت پیوند بین اتم فلز و نزدیکترین اتم‌های کربن از C_{60}	۴۸
جدول ۳-۵ اطلاعات مربوط به دهنده‌گی و گیرنده‌گی الکترون در برهم‌کنش $Sc-C_{60}$	۵۱
جدول ۳-۶ اطلاعات مربوط به دهنده‌گی و گیرنده‌گی الکترون در برهم‌کنش $Ti-C_{60}$	۵۵
جدول ۳-۷ اطلاعات مربوط به دهنده‌گی و گیرنده‌گی الکترون در برهم‌کنش $Cr-C_{60}$	۵۸
جدول ۳-۸ اطلاعات مربوط به دهنده‌گی و گیرنده‌گی الکترون در برهم‌کنش $Fe-C_{60}$	۵۹
جدول ۳-۹ اطلاعات مربوط به دهنده‌گی و گیرنده‌گی الکترون در برهم‌کنش $Ni-C_{60}$	۶۱
جدول ۳-۱۰ اطلاعات مربوط به دهنده‌گی و گیرنده‌گی الکترون در برهم‌کنش $Cu-C_{60}$	۶۳

فهرست شکل‌ها

صفحه

عنوان

شکل ۱-۱- ساختار فضایی فولرن و نمایش دو نوع پیوند متفاوت موجود در آن.....	۴
شکل ۱-۲- نمایش نمودار شیگل برای نانوذره‌ی فولرن C_{60}	۵
شکل ۱-۳- طیف جرمی مربوط به فولرن‌های C_{60} , C_{70} و C_{118}	۶
شکل ۱-۴- طیف ^{13}C NMR برای C_{60} خالص.....	۶
شکل ۱-۵- نمودار اوریتال مولکولی C_{60} . نقطه‌ی صفر در محور عمودی تراز فرمی رانشان می‌دهد.....	۷
شکل ۱-۶- نمونه‌هایی از واکنش‌های افزایشی حلقه‌ای در سطح C_{60}	۱۱
شکل ۱-۷- ساختار فضایی یک مولکول فولرن C_{60} به همراه پنج موقعیت قابل تمیز برای برهم‌کنش با اتم فلزی.....	۳۲
شکل ۲-۱- نمودار انرژی پتانسیل برهم‌کنش اتم Sc با سطح خارجی C_{60} در مقابل فاصله بین ذرهای، تحت پیکربندی‌های برهم‌کنشی مختلف.....	۳۳
شکل ۲-۲- نمودار انرژی پتانسیل برهم‌کنش اتم Ti با سطح خارجی C_{60} در مقابل فاصله بین ذرهای، تحت پیکربندی‌های برهم‌کنشی مختلف.....	۳۴
شکل ۲-۳- نمودار انرژی پتانسیل برهم‌کنش اتم V با سطح خارجی C_{60} در مقابل فاصله بین ذرهای، تحت پیکربندی‌های برهم‌کنشی مختلف.....	۳۴
شکل ۲-۴- نمودار انرژی پتانسیل برهم‌کنش اتم Cr با سطح خارجی C_{60} در مقابل فاصله بین ذرهای، تحت پیکربندی‌های برهم‌کنشی مختلف.....	۳۴
شکل ۲-۵- نمودار انرژی پتانسیل برهم‌کنش اتم Mn با سطح خارجی C_{60} در مقابل فاصله بین ذرهای، تحت پیکربندی‌های برهم‌کنشی مختلف.....	۳۵
شکل ۲-۶- نمودار انرژی پتانسیل برهم‌کنش اتم Fe با سطح خارجی C_{60} در مقابل فاصله بین ذرهای، تحت پیکربندی‌های برهم‌کنشی مختلف.....	۳۵
شکل ۲-۷- نمودار انرژی پتانسیل برهم‌کنش اتم Co با سطح خارجی C_{60} در مقابل فاصله بین ذرهای، تحت پیکربندی‌های برهم‌کنشی مختلف.....	۳۵
شکل ۲-۸- نمودار انرژی پتانسیل برهم‌کنش اتم Ni با سطح خارجی C_{60} در مقابل فاصله بین ذرهای، تحت پیکربندی‌های برهم‌کنشی مختلف.....	۳۵

پیکربندی های برهم کنشی مختلف ۳۶
شکل ۳-۱۰- نمودار انرژی پتانسیل برهم کنش اتم Cu با سطح خارجی C_{60} در مقابل فاصله بین ذرهای، تحت	۳۶
پیکربندی های برهم کنشی مختلف ۳۶
شکل ۳-۱۱- نمودار انرژی پتانسیل برهم کنش اتم Zn با سطح خارجی C_{60} در مقابل فاصله بین ذرهای، تحت	۳۶
پیکربندی های برهم کنشی مختلف ۳۸
شکل ۳-۱۲- نمودار انرژی پتانسیل برهم کنش Sc- C_{60} در مقابل فاصله بین ذرهای ۳۹
شکل ۳-۱۳- نمودار انرژی پتانسیل برهم کنش Ti- C_{60} در مقابل فاصله بین ذرهای ۳۹
شکل ۳-۱۴- نمودار انرژی پتانسیل برهم کنش V- C_{60} در مقابل فاصله بین ذرهای ۳۹
شکل ۳-۱۵- نمودار انرژی پتانسیل برهم کنش Cr- C_{60} در مقابل فاصله بین ذرهای ۴۰
شکل ۳-۱۶- نمودار انرژی پتانسیل برهم کنش Mn- C_{60} در مقابل فاصله بین ذرهای ۴۰
شکل ۳-۱۷- نمودار انرژی پتانسیل برهم کنش Fe- C_{60} در مقابل فاصله بین ذرهای ۴۰
شکل ۳-۱۸- نمودار انرژی پتانسیل برهم کنش Co- C_{60} در مقابل فاصله بین ذرهای ۴۱
شکل ۳-۱۹- نمودار انرژی پتانسیل برهم کنش Ni- C_{60} در مقابل فاصله بین ذرهای ۴۱
شکل ۳-۲۰- نمودار انرژی پتانسیل برهم کنش Cu- C_{60} در مقابل فاصله بین ذرهای ۴۱
شکل ۳-۲۱- نمودار انرژی پتانسیل برهم کنش Zn- C_{60} در مقابل فاصله بین ذرهای ۴۱
شکل ۳-۲۲- نمودار انرژی جذب در مقابل فاصلهٔ تعادلی برهم کنش برای جذب فلزهای واسطه سری اول بر سطح C_{60} ۴۳
شکل ۳-۲۳- نمودار انرژی جذب در مقابل شکاف انرژی ۴۵
شکل ۳-۲۴- نمودار انرژی جذب در مقابل بارالکتریکی مولیکن و NPA ۵۰

فصل اول

مقدمه و پیشینه‌ی تحقیق

هدف از انجام این پژوهش بررسی برهم‌کنش فلزهای واسطه‌ی سری اول با سطح خارجی فولرن^۱ C₆₀ است.

با این کار نحوه‌ی برهم‌کنش این فلزها با فولرن شامل موقعیت قرارگیری آن‌ها در سطح فولرن، مقادیر انرژی جذب و اطلاعات ساختاری و الکترونی محاسبه می‌شود. داده‌های حاصل برای استخراج قوانین حاکم بر مکانیزم جذب فلزهای واسطه بر سطح C₆₀ مورد استفاده قرار می‌گیرد.

در ابتدای این بخش اطلاعاتی کلی در مورد فولرن، خواص و ویژگی‌های آن، متالوفولرن‌ها و کاربردهای آن‌ها در موارد مختلف ارائه می‌شود.

۱-۱- فولرن و خواص آن

تا دهه‌ی ۱۹۵۰ تنها دو آلوتروب از کربن به نام های الماس و گرافیت شناخته شده بود [۱]. الماس یک سیستم آلیفاتیک چندحلقه‌ای است که با سختی بسیار زیاد آن شناخته می‌شود. گرافیت یک سیستم لایه‌ای از

^۱ Fullerene

حلقه‌های آروماتیکی است که به دلیل خواص و ویژگی‌های روان و ماسوره‌ای^۲ آن شناخته شده است. در سال ۱۹۶۶ برای نخستین بار احتمال تشکیل قفس های توخالی^۳ از کربن که امروزه آن را با نام عمومی فولرن می - شناسیم توسط جونز^۴ مورد مطالعه قرار گرفت اما در آن زمان با استقبال محققین مواجه نشد . چهار سال پس از آن، با کشف ساختار کاسه مانندی از کربن به نام کورانولن^۵ دانشمندان برای اتم‌های کربن ساختاری با تقارن بیست وجهی^۶ را پیش‌بینی کردند که در آن اتم‌های کربن مانند رئوس یک توب فوتیال در کنار هم قرار گرفته اند [۲]. در سال ۱۹۸۴ مشاهده شد که بر اثر تبخیر گرافیت با استفاده از لیزر، خوش‌هایی^۷ از کربن که دارای ۳۰-۳۰ اتم کربن هستند تشکیل می شوند [۳]. در سال ۱۹۸۵ برای اولین بار نانوذره‌ی فولرن در جریان طیف سنجی جرمی نمونه‌های جامد گرافیت توسط اتو^۸، اسمالی^۹ و کورل^{۱۰} شناخته شد [۴].

۱-۱-۱- دسته‌بندی اصلی فولرن‌ها

فولرن‌ها مولکول‌هایی هستند که ساختار آن‌ها متشکل از اتم‌های کربن بوده و لذا بعد از الماس و گرافیت به عنوان سومین آلوتrop کربن شناخته می شوند. این گروه از مولکول‌ها از لحاظ شکل ظاهری به دو دسته ی اصلی تقسیم می شوند:

- ۱- مولکول‌هایی با ساختار قفسی که با نام عمومی فولرن شناخته می شوند.
- ۲- مولکول‌هایی با ساختار سیلندری که با نام عمومی نانولوله‌های کربنی شناخته می شوند.

فولرن‌ها از لحاظ شیمیایی و نوع واکنش‌ها به دو دسته تقسیم می شوند [۵].

² Lubricating

³ Kavak

⁴ Jones

⁵ Corannulene

⁶ Ih

⁷ Cluster

⁸ Krato

⁹ Smalley

¹⁰ Curl

۱ - واکنش‌های برون قفسی^{۱۱} که به بررسی واکنش‌های انجام گرفته در سطح خارجی فولرن می-

پردازد. موضوع کار تحقیقی حاضر نیز در این حیطه قرار می‌گیرد.

۲ - واکنش‌های درون قفسی^{۱۲} که به بررسی واکنش‌های صورت گرفته در سطح داخلی قفسه‌ی فولرن

می‌پردازد. موضوع اصلی در این دسته از واکنش‌ها تاثیر ورود مواد مختلف به داخل قفسه‌ی فولرن و

نحوه‌ی تغییر خواص کمپلکس ایجاد شده می‌باشد.

C₆₀-۱-۲- فولرن

فولرن C₆₀ کوچک‌ترین و پایدارترین عضو خانواده‌ی بزرگ ترکیبات قفسی است که همگی آن‌ها با نام

عمومی فولرن شناخته می‌شوند. علاوه بر C₆₀ تعداد زیادی فولرن (C₇₀, C₇₆, C₈₄ و ...) نیز گزارش شده

است. فولرن‌ها در بسیاری از خواص با هم شباهت دارند که از آن جمله می‌توان به موارد زیر اشاره نمود

[۷۶]

۱ - همگی از حلقه‌های پنج‌ضلعی^{۱۳} و شش‌ضلعی^{۱۴} تشکیل شده‌اند و فقط در تعداد حلقه‌ها متفاوتند.

۲ - در همه‌ی فولرن‌ها پیوند‌های یگانه و دو گانه وجود دارد و معمولاً پیوند‌های دو گانه در محل اتصال

حلقه‌های شش‌ضلعی با هم قرار دارند.

همگی فولرن‌ها جدا از اندازه‌ی آن‌ها از لحاظ داشتن ۱۲ حلقه‌ی پنج‌ضلعی مشابه هستند. این از آن

جهت است که معلوم شده همواره وجود دوازده حلقه‌ی پنج‌ضلعی برای ایجاد ساختار قفسی لازم است و

تعداد حلقه‌های پنج و شش‌ضلعی در فولرن‌ها از رابطه‌ی $2(M+10)$ پیروی می‌کند. بنابراین از لحاظ

ساختاری تفاوت انواع فولرن‌ها در تعداد حلقه‌های شش‌ضلعی است که در اینجا با حرف M نشان داده شده

است.

¹¹ Exohedral reactions

¹² Endohedral reactions

¹³ Pentagon cycle

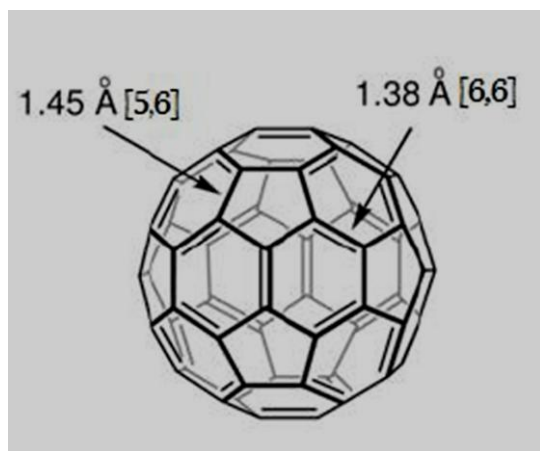
¹⁴ Hexagone cycle

فولرن C_{60} که ساختار آن در شکل ۱-۱ نشان داده شده، با نام اختصاصی آیوپاک C_{60} - I_h [5,6]fullerene و قطر واندروالس در حدود 71 \AA دارد. ۲۰ حلقه‌ی شش‌ضلعی و ۱۲ حلقه‌ی پنج‌ضلعی است [۸]. نحوه‌ی آرایش حلقه‌ها به گونه‌ای است که بین حلقه‌های پنج‌ضلعی هیچ یال مشترکی وجود نداشته و اتصالات کربن-کربن بین حلقه‌های شش‌ضلعی و بین حلقه‌های پنج و شش‌ضلعی قرار می‌گیرند. در این نانوذره دو نوع پیوند به شرح زیر با طول متفاوت وجود دارد که دارای اهمیت زیادی در مکانیزم واکنش‌های درون‌قفسی و بروون‌قفسی هستند [۹]؛

۱- پیوند بین حلقه‌های شش‌ضلعی که تا حدودی خصلت دوگانه دارند.

۲- پیوند بین حلقه‌های شش و پنج‌ضلعی که پیوندهایی به طور کامل ساده و یگانه هستند.

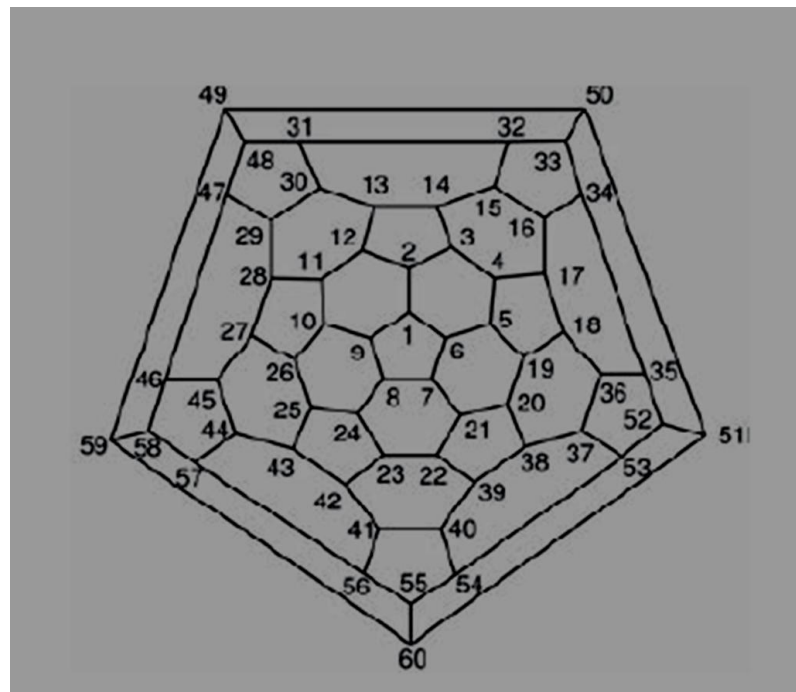
از یک نظر می‌توان پذیرفت که پیوند در بین حلقه‌های شش‌ضلعی نسبت به پیوند بین حلقه‌های پنج و شش‌ضلعی از خصلت دوگانه‌ی بیش‌تری برخوردار بوده و معلوم شده که اغلب برهمکنش‌های صورت گرفته با سطح فولرن C_{60} در این موقعیت صورت می‌گیرد [۱۰]. پیوند بین حلقه‌های شش‌ضلعی را با نماد [6,6] و پیوند بین حلقه‌های پنج و شش‌ضلعی را با نماد [5,6] نشان می‌دهند.



شکل ۱-۱- ساختار فضایی فولرن و نمایش دو نوع پیوند متفاوت موجود در آن.

در ساختار نشان داده شده در شکل ۱-۱ همواره نیمی از اتم‌های سازنده و پیوندهای در بردارنده‌ی آن‌ها ناپیدا بوده و لذا این گونه از نمایش در ک توصیفی کاملی را به دست نمی‌دهد. بنابراین در برخی موارد

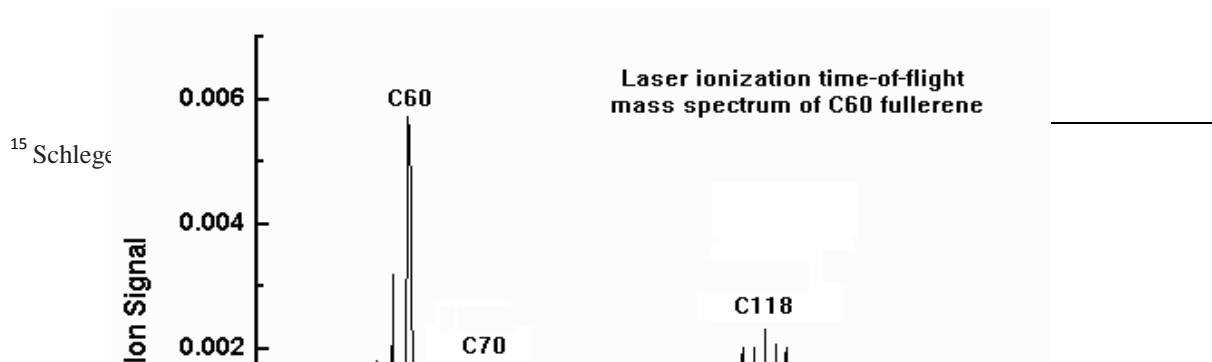
جهت سهولت بررسی های ساختاری فولرن C_{60} از نمودارهای خاصی به نام شیگل^{۱۵} استفاده می شود که شمای آن در شکل ۲-۱ نشان داده شده است [۱۱].



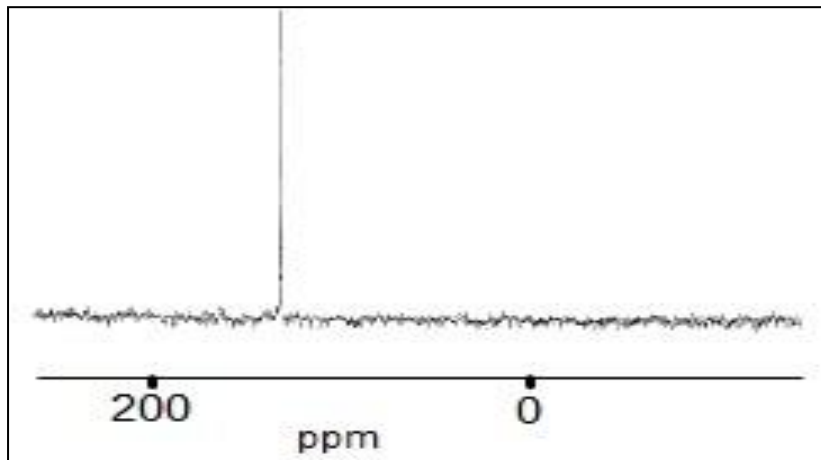
شکل ۱-۲-۱- نمایش نمودار شیگل برای نانوذره فولرن C_{60}

۱-۳-۱- طیف های جرمی و طیف ^{13}C NMR نانوذره فولرن

در شکل ۱-۳-۱- طیف جرمی فولرن های C_{60} , C_{70} و C_{118} نشان داده شده است. وجود پیک های نیز در این طیف تأییدیست بر این موضوع که کل اتم های کربن در هریک از گونه های فولرن کاملاً یکسان بوده و دارای محیط شیمیایی مشابهی هستند [۱۲]. در شکل ۱-۴-۱- طیف ^{13}C NMR مربوط به C_{60} نشان داده شده است. همانگونه که این شکل نشان می دهد تنها یک پیک به اندازه کافی تیز و مشخص قابل تمیز است و این موضوع نشان دهندهی وجود یک نوع اتم کربن از نظر وضعیت شیمیایی و فیزیکی در ساختار C_{60} است.



شکل ۱-۳- طیف جرمی مربوط به فولرن های C_{60} , C_{70} و C_{118} .



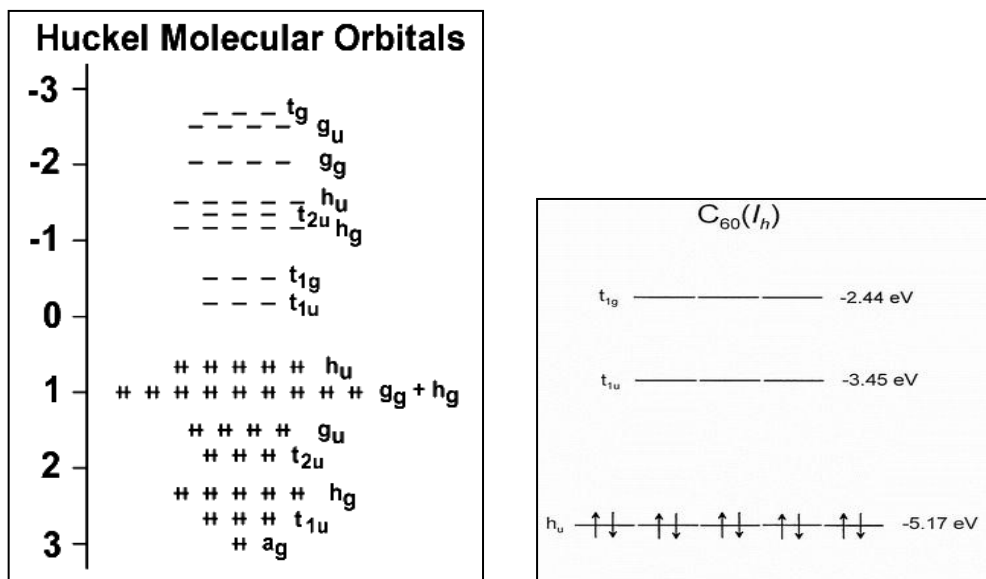
شکل ۱-۴- طیف ^{13}C NMR برای C_{60} خالص.

۱-۴- اوربیتال‌های مولکولی در فولرن

از نظر توصیفی سطوح داخلی و خارجی در مولکول C_{60} با دریایی از الکترون‌های π پوشیده شده است. عامل ایجاد رسانایی الکتریکی و انتقالات الکترونی در فولرن و ترکیبات آلی مشابه آن نیز وجود همین الکترون‌های π است. شکاف انرژی برای این مولکول در دمای اتاق $1/7 \text{ eV}$ است که از متوسط انرژی گرمایی (kT) خیلی بیشتر بوده و از این رو در دمای اتاق، C_{60} رفتاری شبیه به مواد رسانا دارد. با این وجود این مولکول مانند سیلیکون با گرفتن یا دادن الکترون می‌تواند نیم‌رساناهای نوع n یا p را تشکیل دهد. به دلیل اندازه‌ی بزرگ و

الکترون خواهی زیاد، مولکول C_{60} می تواند به راحتی با بسیاری از فلزها از جمله فلزهای قلیایی، واسطه و لantanیدها برهم کنش انجام دهد [۱۳].

در شکل ۱-۵- نمودار اوربیتال مولکولی C_{60} آورده شده است . لازم به ذکر است که در این شکل فقط الکترون های π در نظر گرفته شده و نقطه‌ی صفر در محور عمودی، تراز فرمی^{۱۶} را نشان می دهد.



شکل ۱-۵- نمودار اوربیتال مولکولی C_{60} . نقطه‌ی صفر در محور عمودی تراز فرمی را نشان می دهد.

۱-۱-۵- آروماتیک^{۱۷} شدن فولرن

این موضوع که فولرن‌ها از نظر خواص آروماتیکی دارای چه وضعیتی هستند همواره مورد بحث بوده است. آنچه که قطعیت دارد این است که نمی توان این مولکول را به عنوان یک مولکول کاملاً آروماتیک در نظر گرفت زیرا در مقایسه با ترکیباتی نظیر بنزن الکترون های در گیر در حلقه توانایی و امکان توزیع در تمام سطح حلقه را ندارند . همچنین از نظر واکنش های جانشینی مشابه حلقه های بنزنی عمل نمی کند [۱۴]. در فولرن‌ها با توجه به هیبریداسیون sp^2 اتم‌های کربن از یک سو و حالت کروی

^{۱۶} Fermi

^{۱۷} Aromaticity

مولکول از سوی دیگر مولکول متتحمل فشار پیچشی بسیار زیادی می‌شود. این عامل باعث می‌شود که این نانوذره نسبت به ترکیبات آروماتیکی نظیر بنزن با سهولت بیشتری در واکنش‌های افزایشی شرکت کند و از این طریق و با تغییر هیبریداسیون از sp^2 به sp^3 برسرد [۱۵].

۱-۱-۶-حلالت^{۱۸} فولرن‌ها

فولرن‌ها به مقدار کم در حلالت آروماتیکی نظیر تولوئن و نیز برخی دیگر از حلالت کربن‌دی‌سولفید حل می‌شوند. محلول‌های فولرن₆₀ خالص به رنگ ارغوانی بوده و محلول‌های C₇₀ به رنگ قهوه‌ای مایل به قرمز مشاهده می‌شوند [۱۶]. فولرن‌ها تنها آلوتروپ کربن هستند که در دمای اتاق در برخی حلالت حل می‌شوند. حلالت فولرن C₆₀ در برخی حللات معمولی در جدول ۱-۱ آورده شده است [۱۶].

جدول ۱-۱- حلالت فولرن در حللات مختلف

میزان حلالت (mg/ml)	حلال	میزان حلالت (mg/ml)	حلال
۱/۲	سیکلوهگزان	۵۱	۱-کلرونفتالن
۰/۴	کربن ترافلوازید	۳۳	۱-متیل نفتالن
۰/۲۵	کلروفرم	۲۴	۱و۲-دی کلروبنزن
۰/۰۰۶	تتراهیدروفوران	۸	کربن دی سولفید
۰/۰۰۴	استونیتریل	۵	بروموفرم
۰/۰۰۰۴	متانول	۳	تولوئن

۱-۱-۷-نقش فولرن در جذب رادیکال‌ها^{۱۹}

¹⁸ Solobility

¹⁹ Radical Scavenger